

FIG. 1

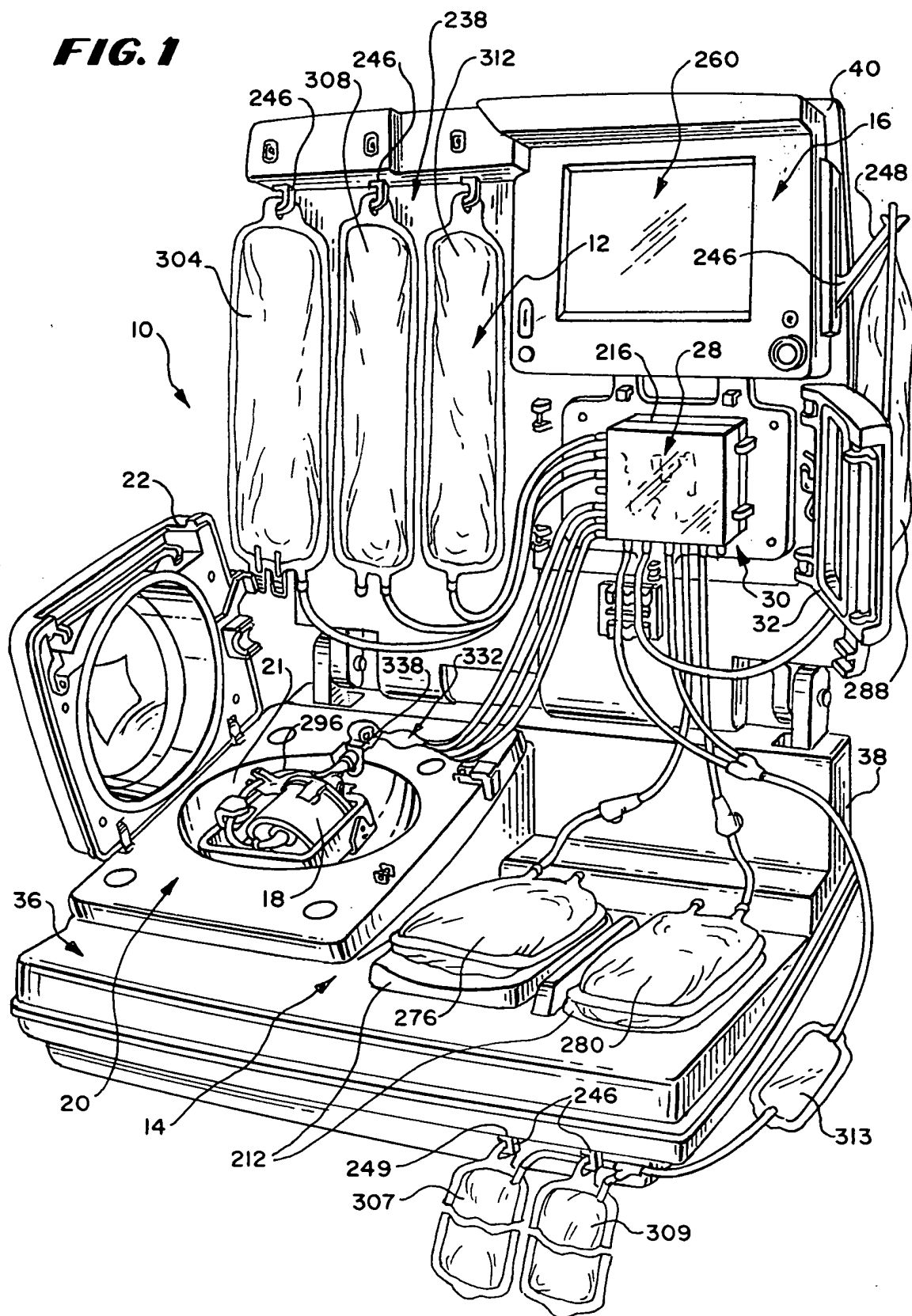
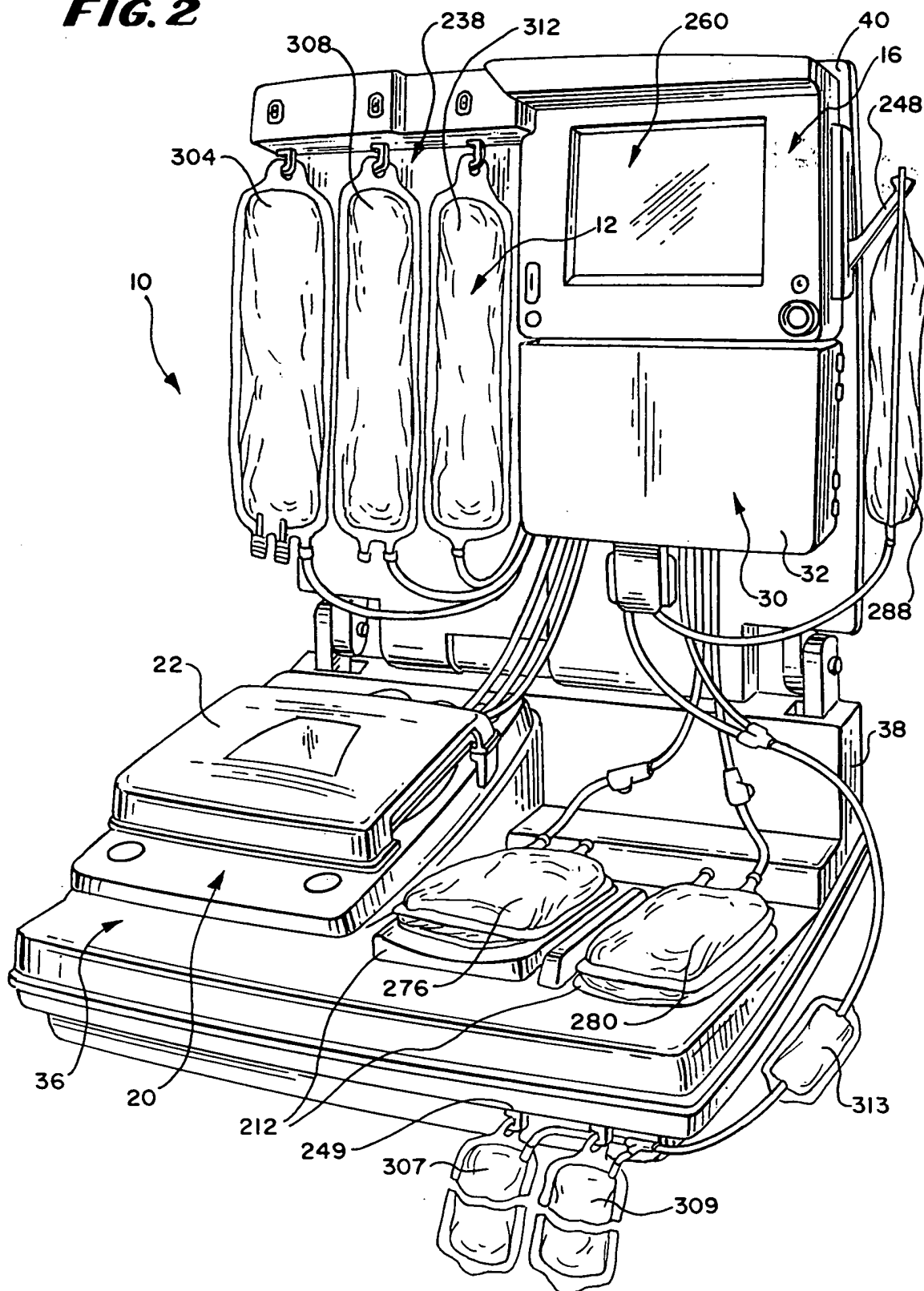


FIG. 2



308 304 307 309 312 313 32 36 38 40 238 248 249 276 280 260 12 16 10 22

FIG. 3

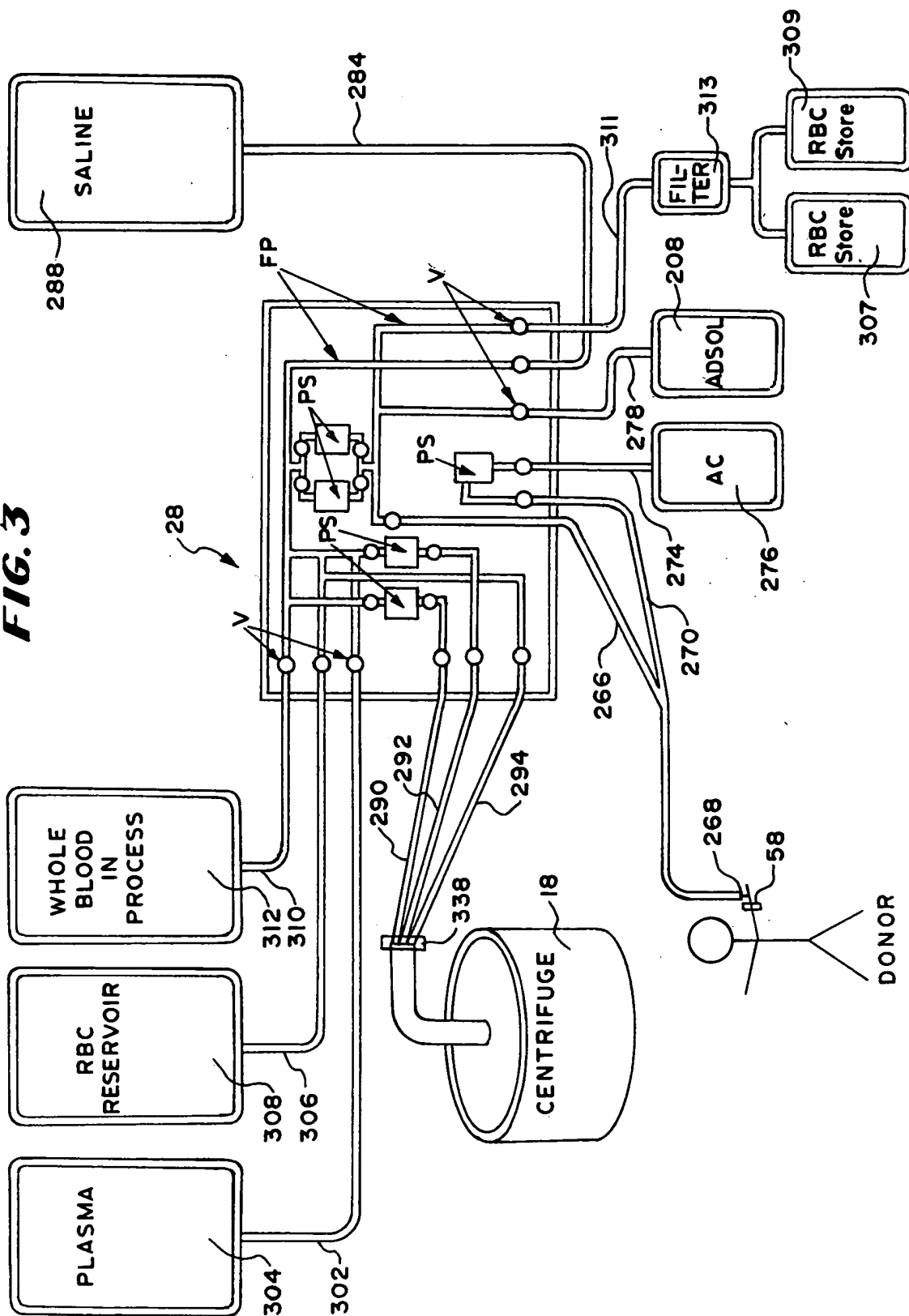
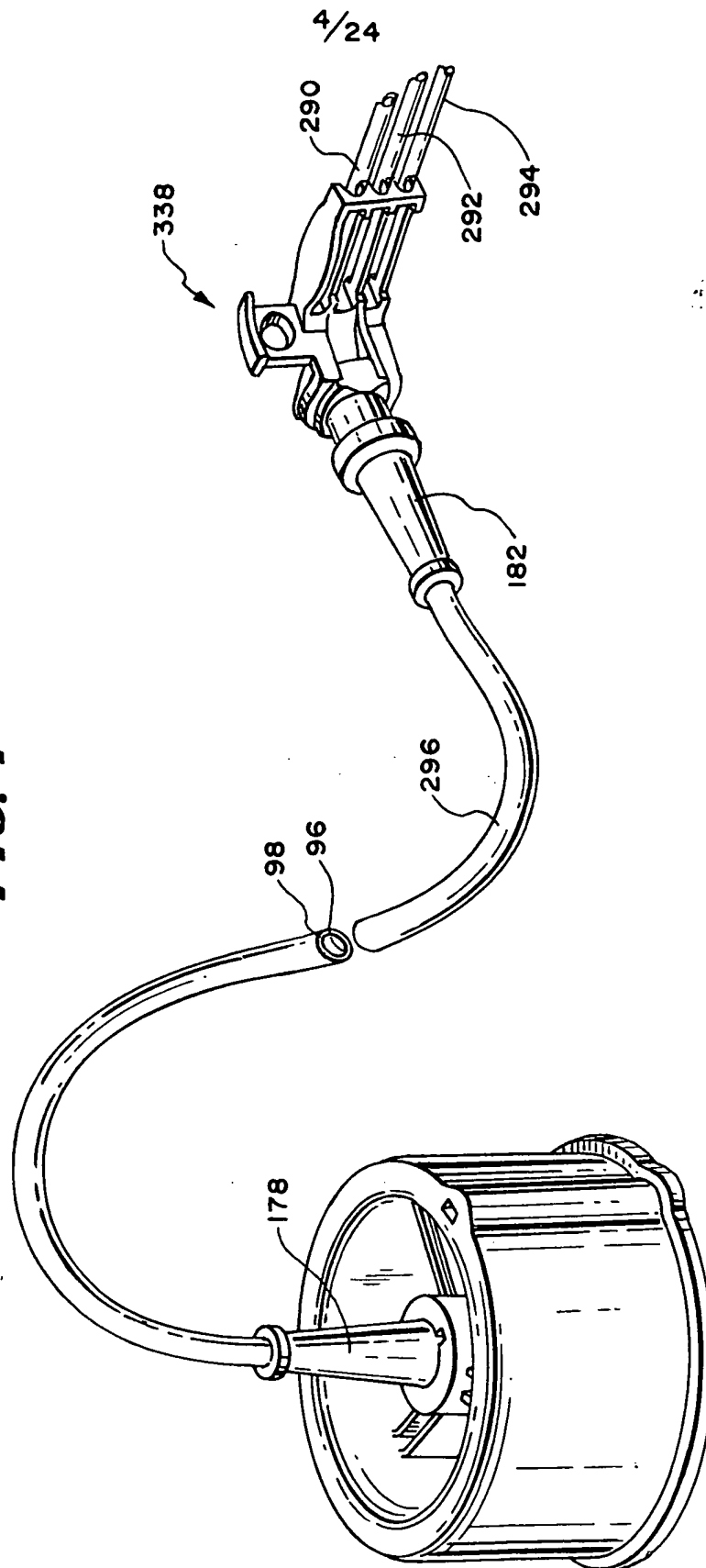


FIG. 4



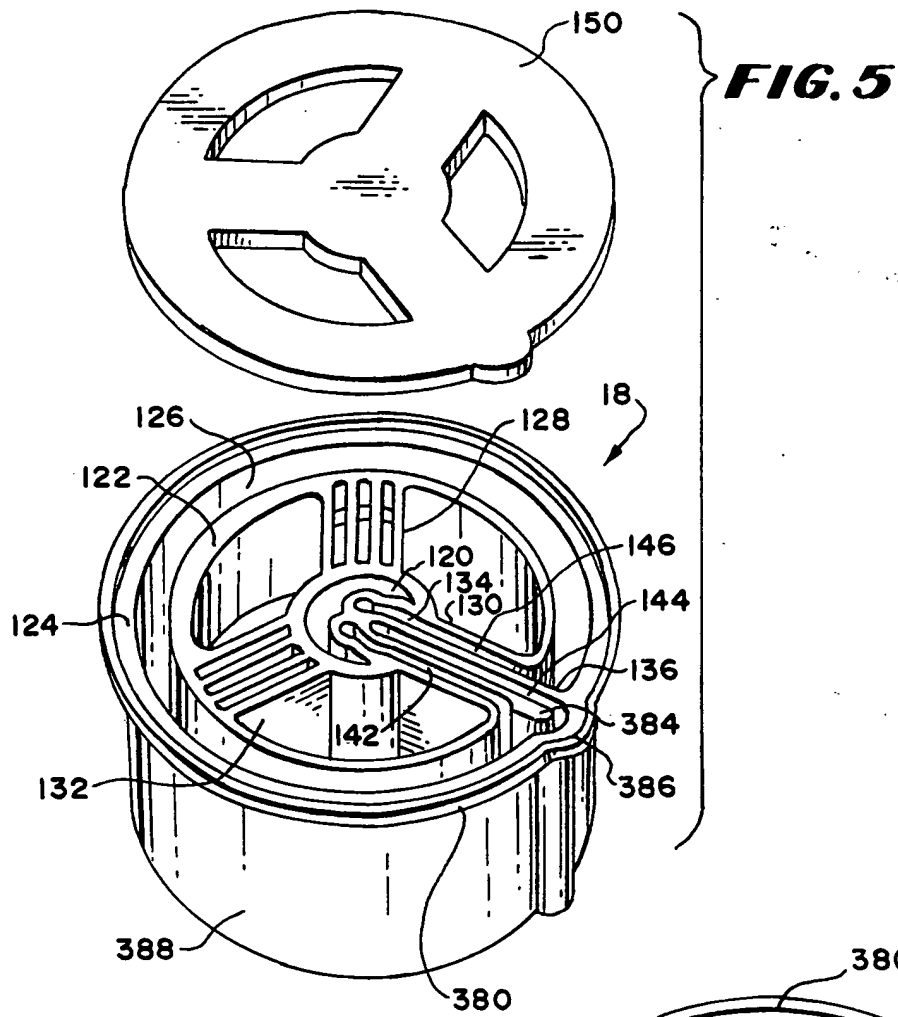


FIG. 6

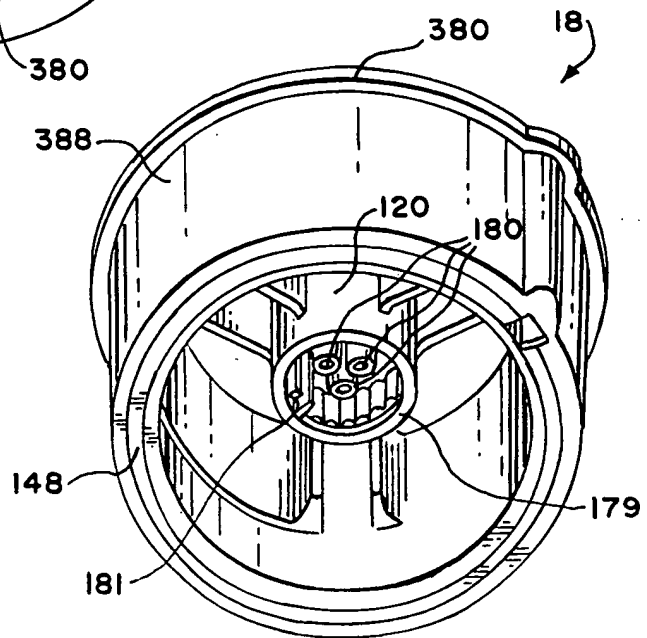


FIG. 7

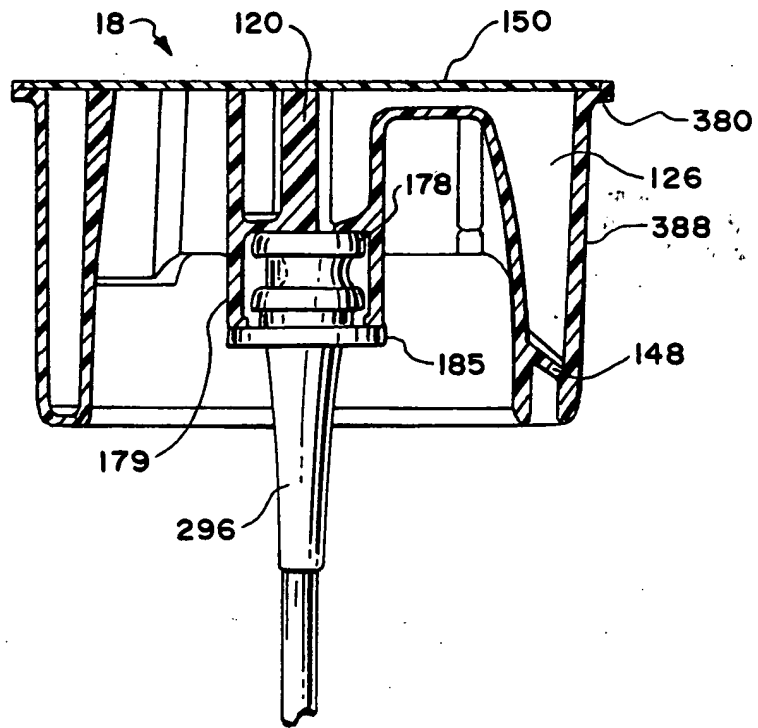


FIG. 8

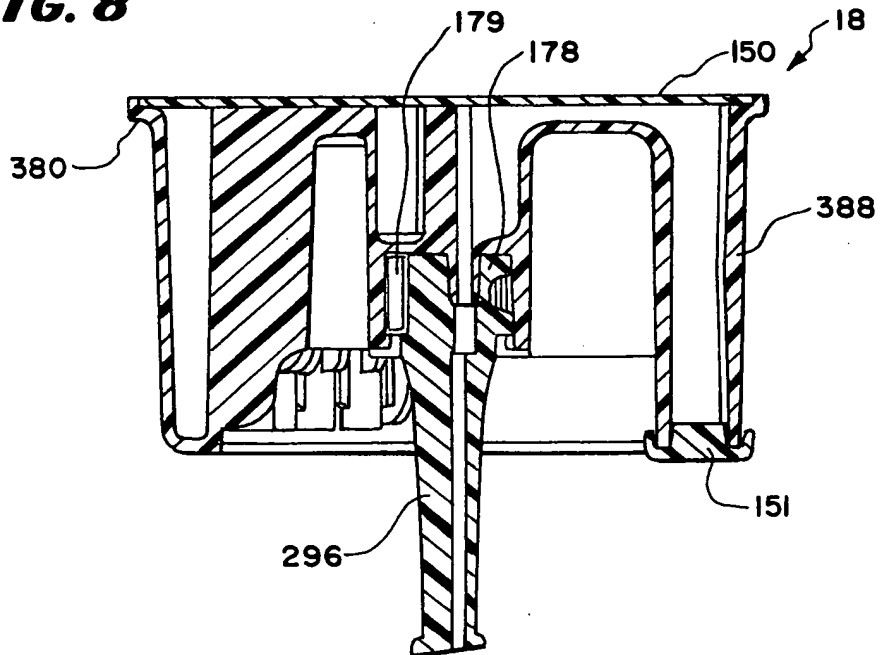


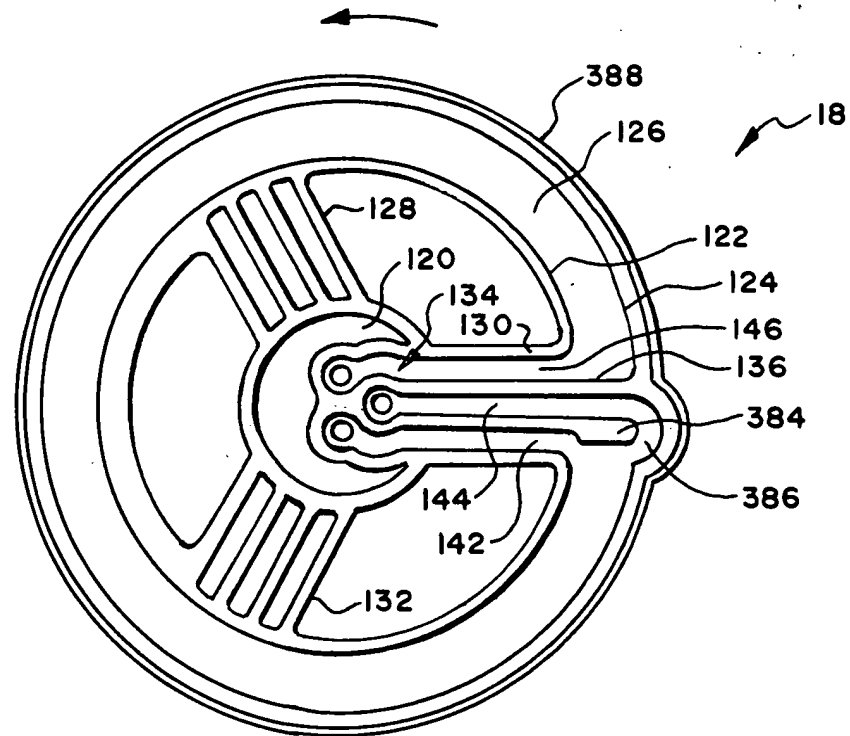
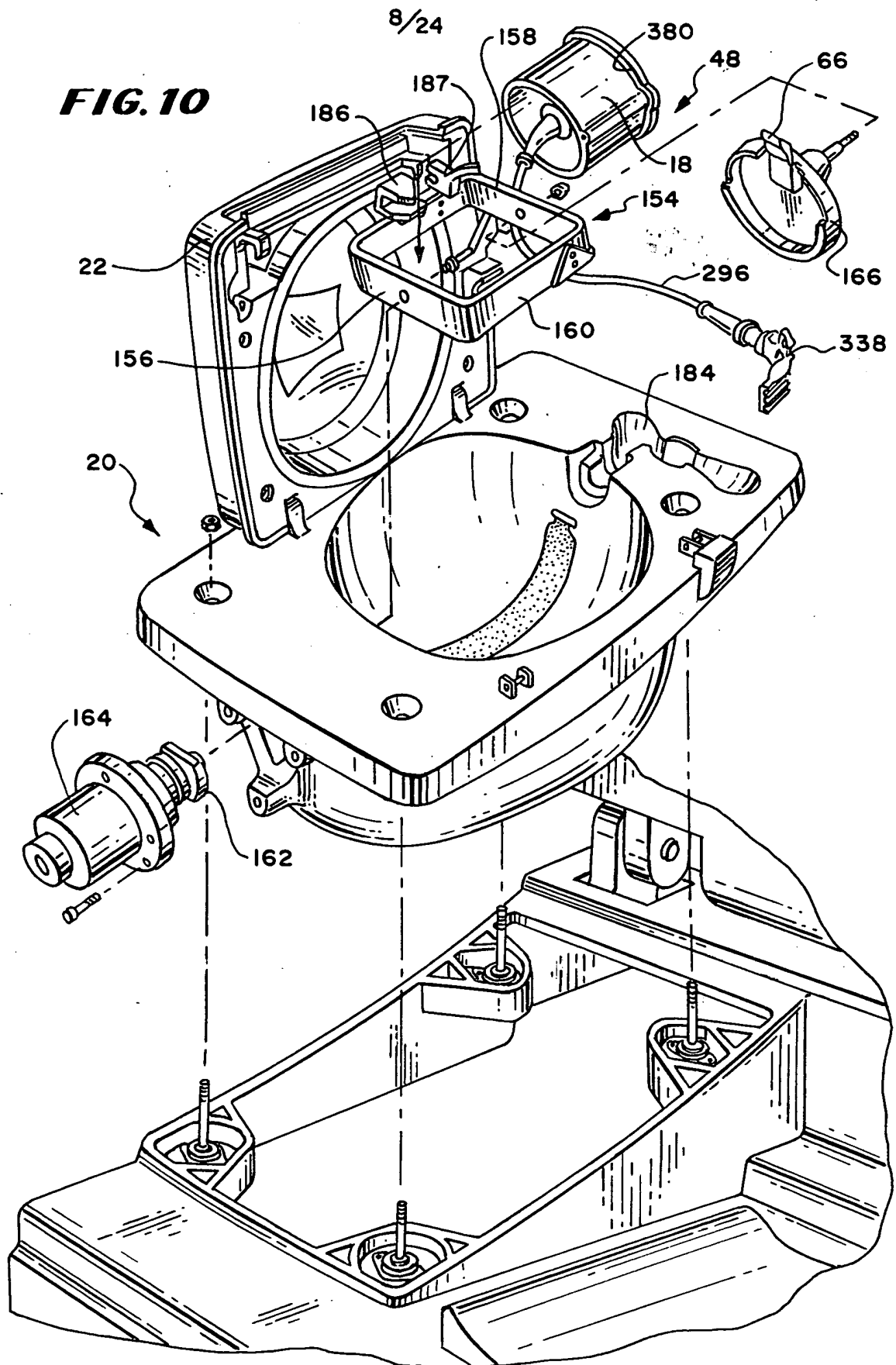
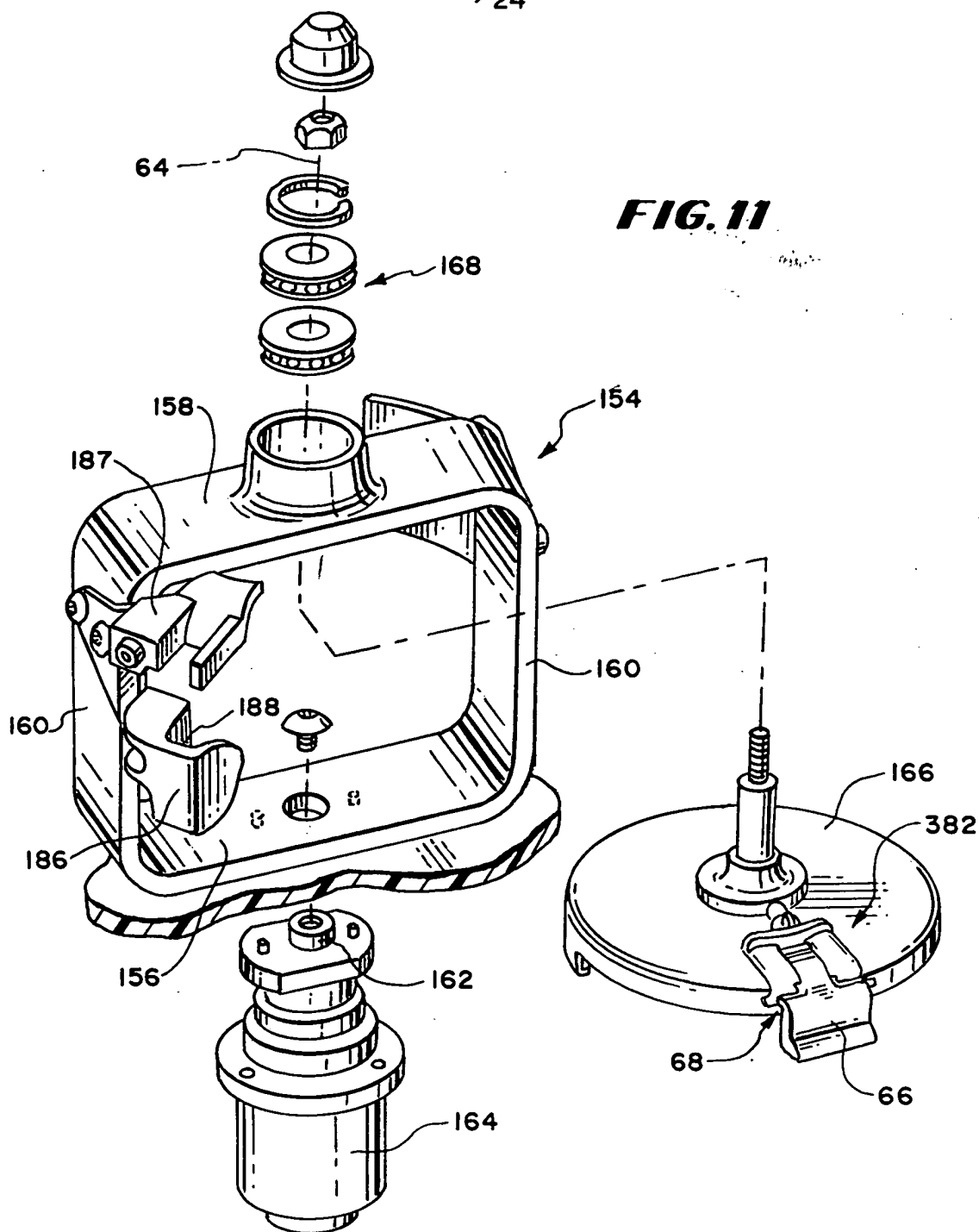
FIG. 9

FIG. 10



9/24

FIG. 11



10/24

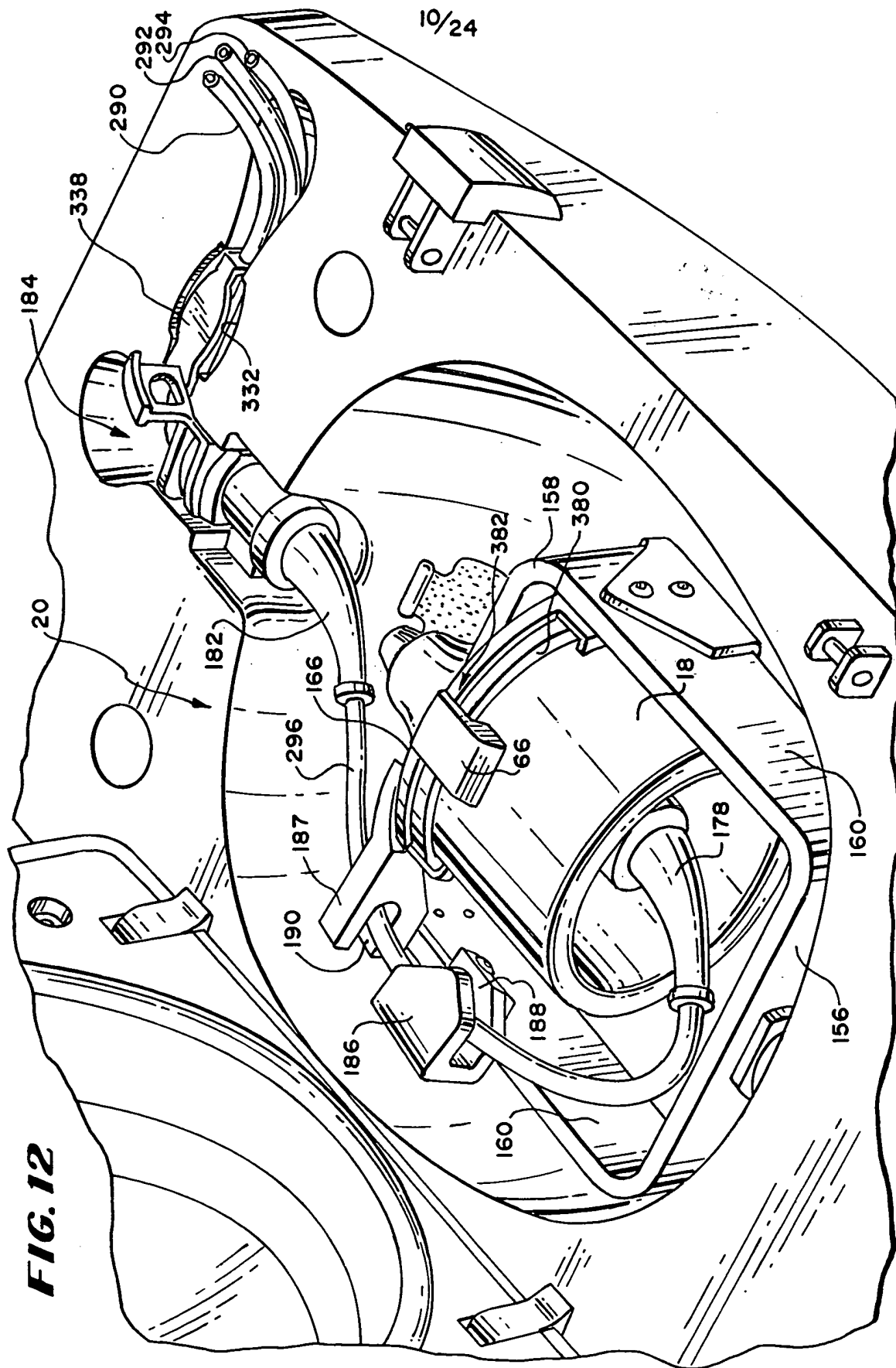
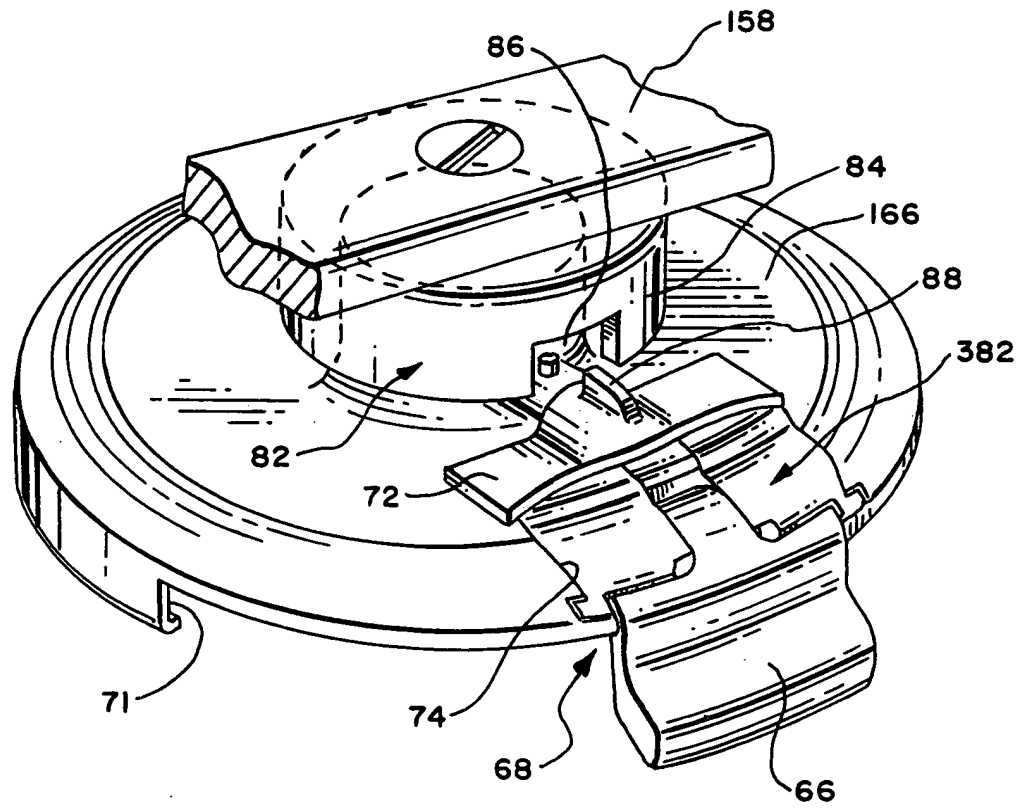


FIG. 12

FIG. 13



12/24

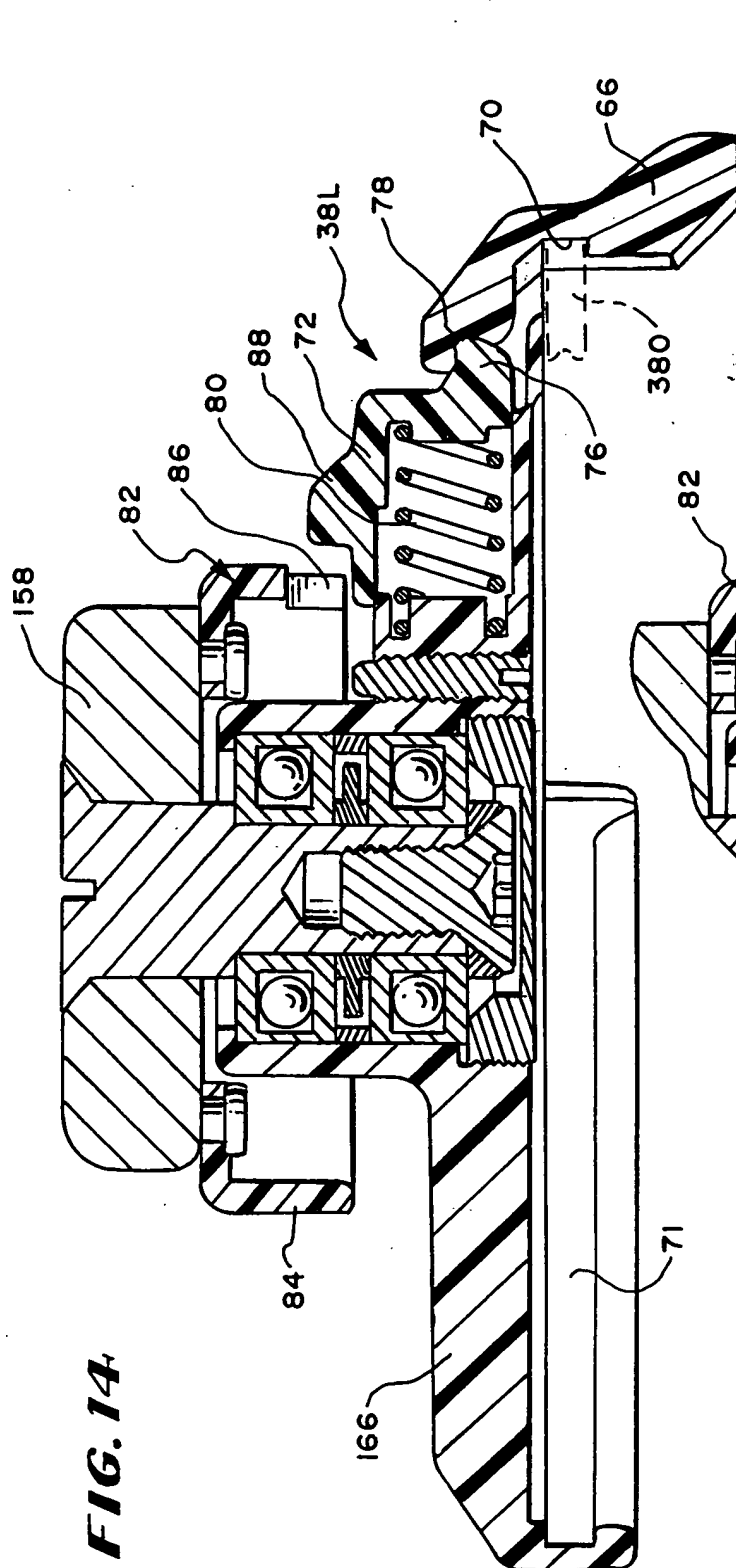


FIG. 14

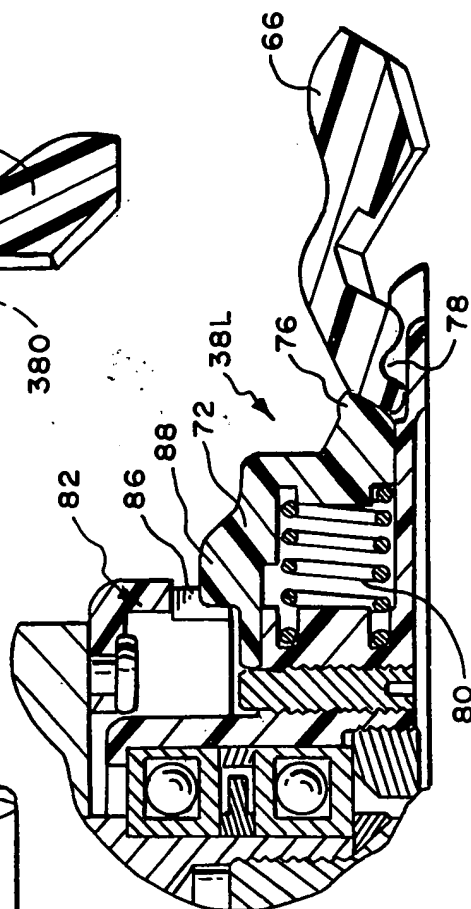


FIG. 15

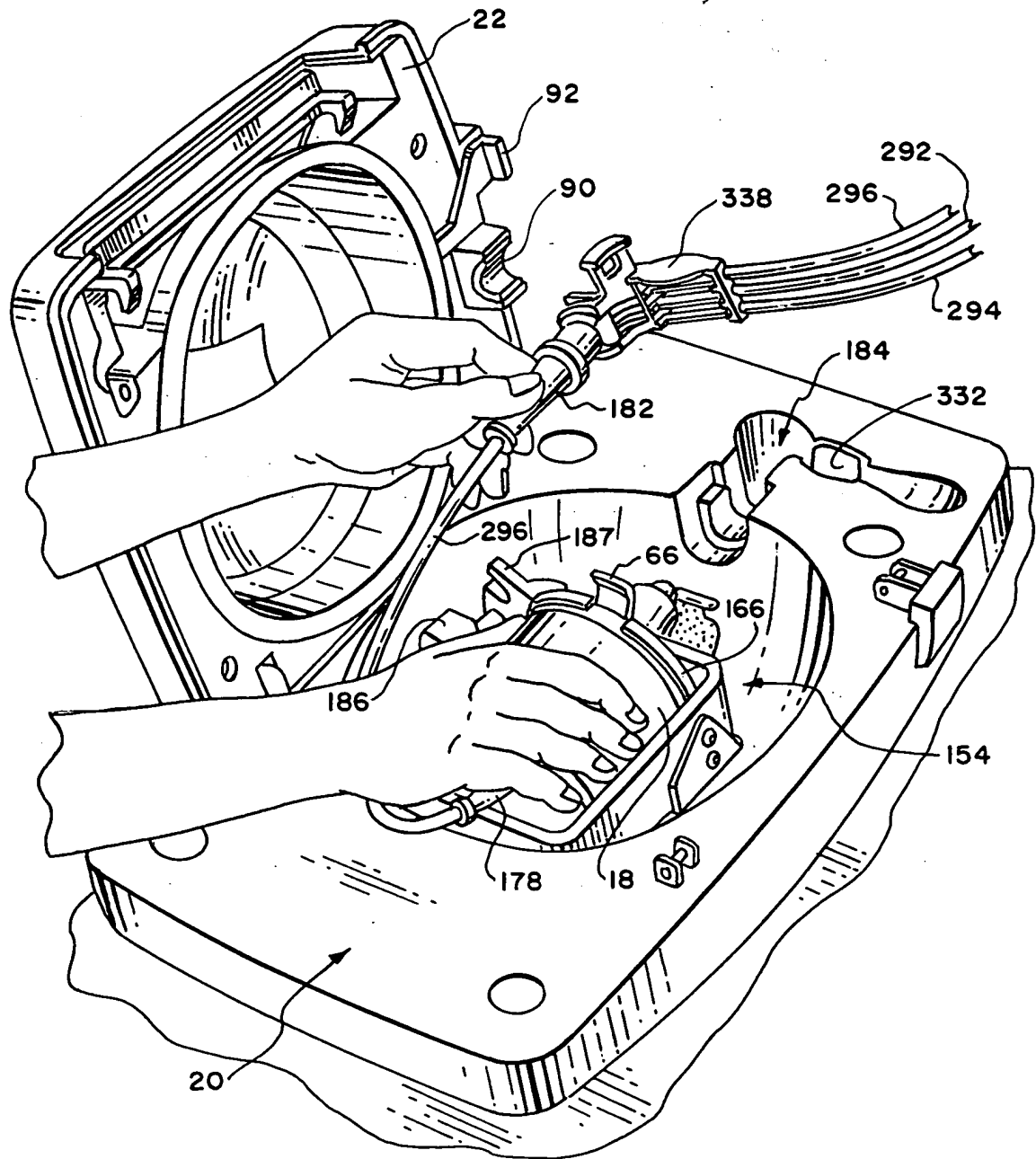
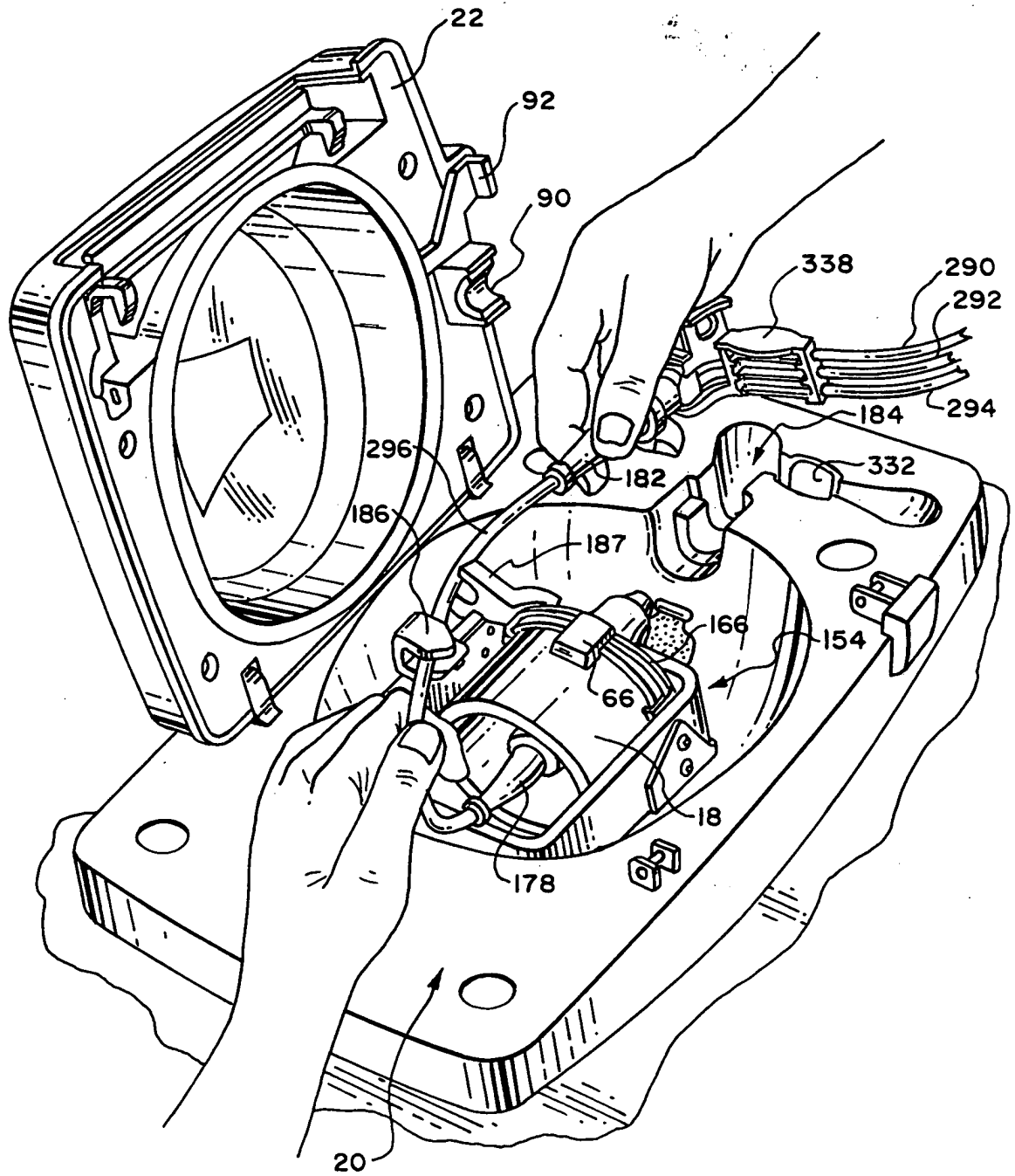
FIG. 16

FIG. 17



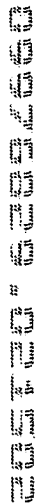
[illegible]

FIG. 19

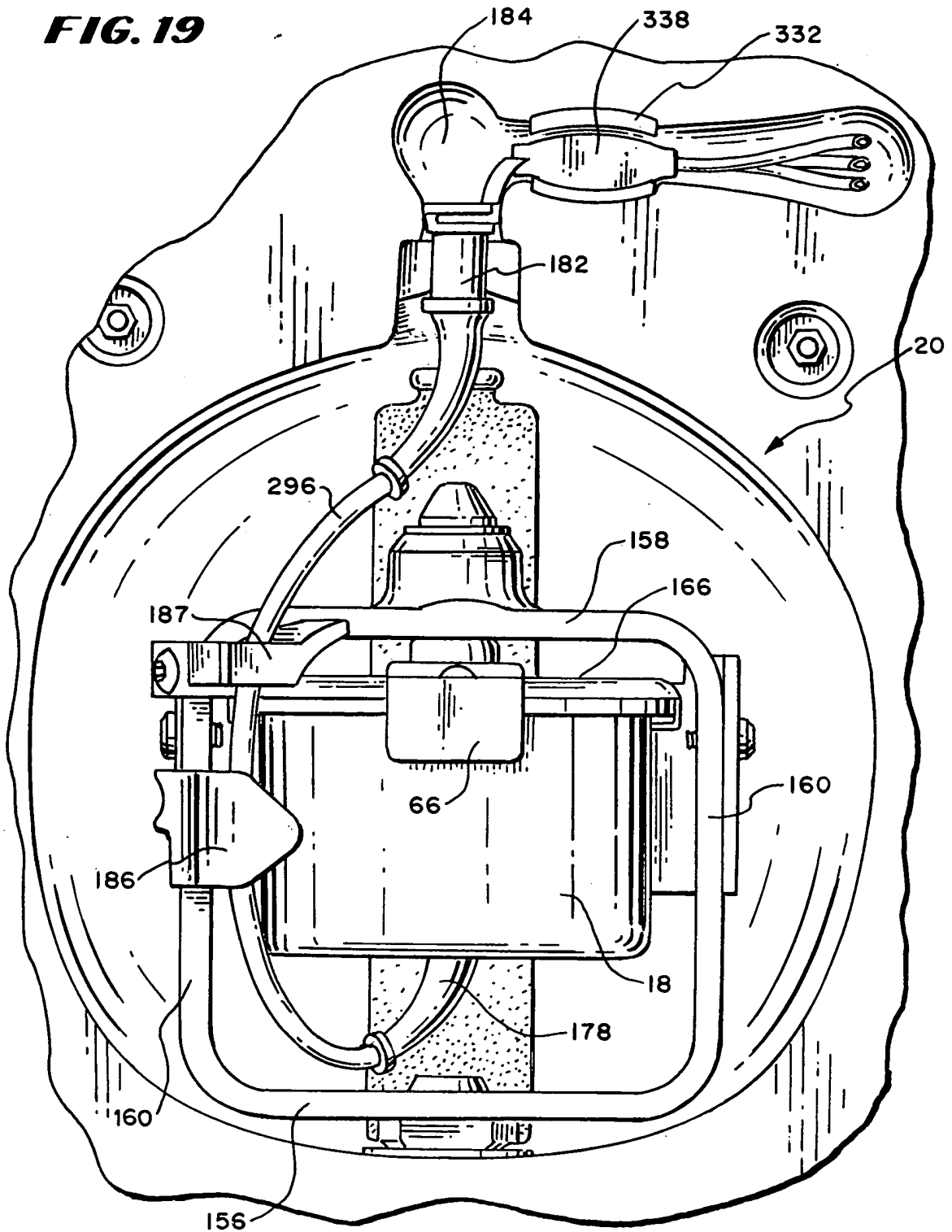


FIG. 20

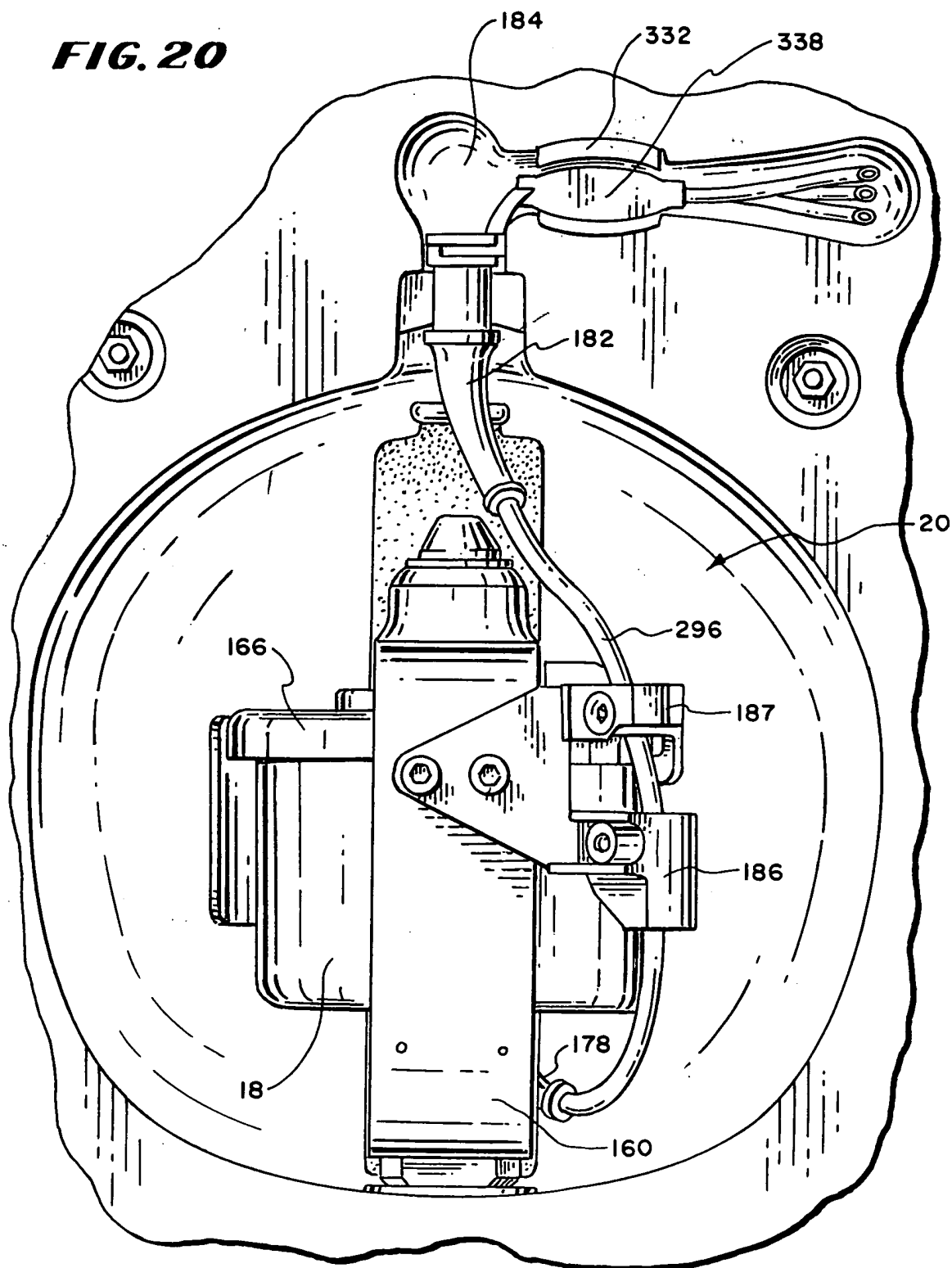


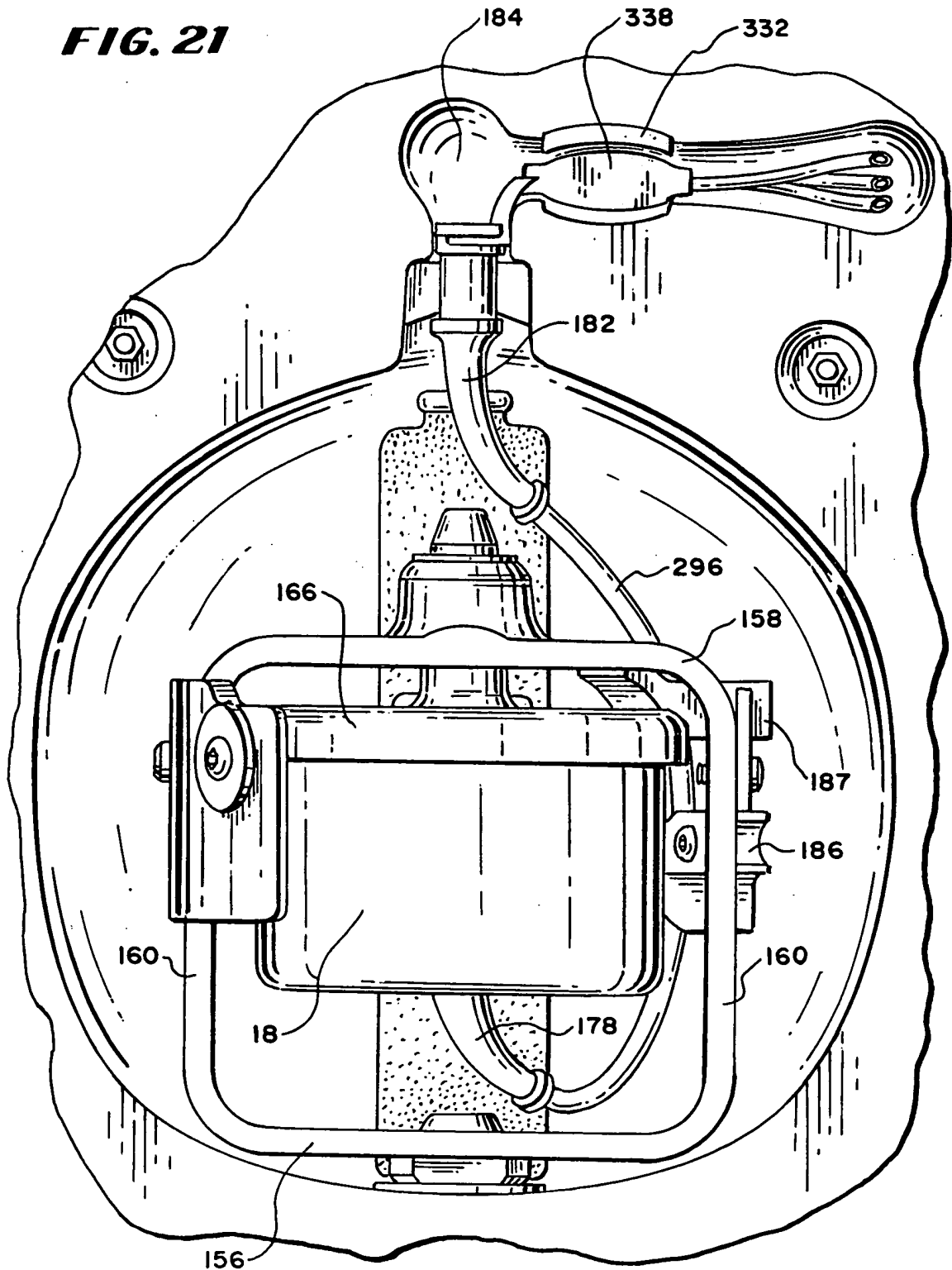
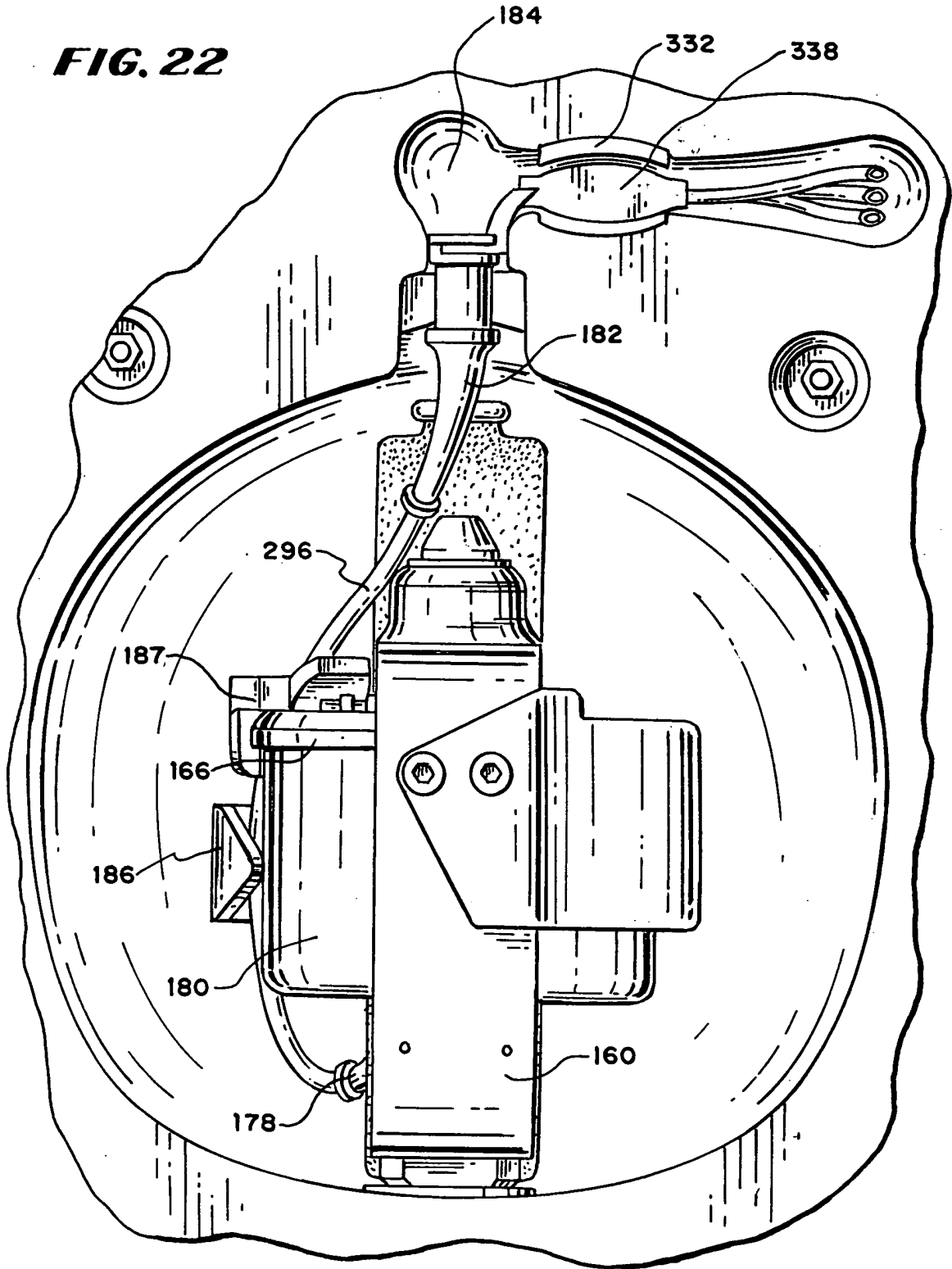
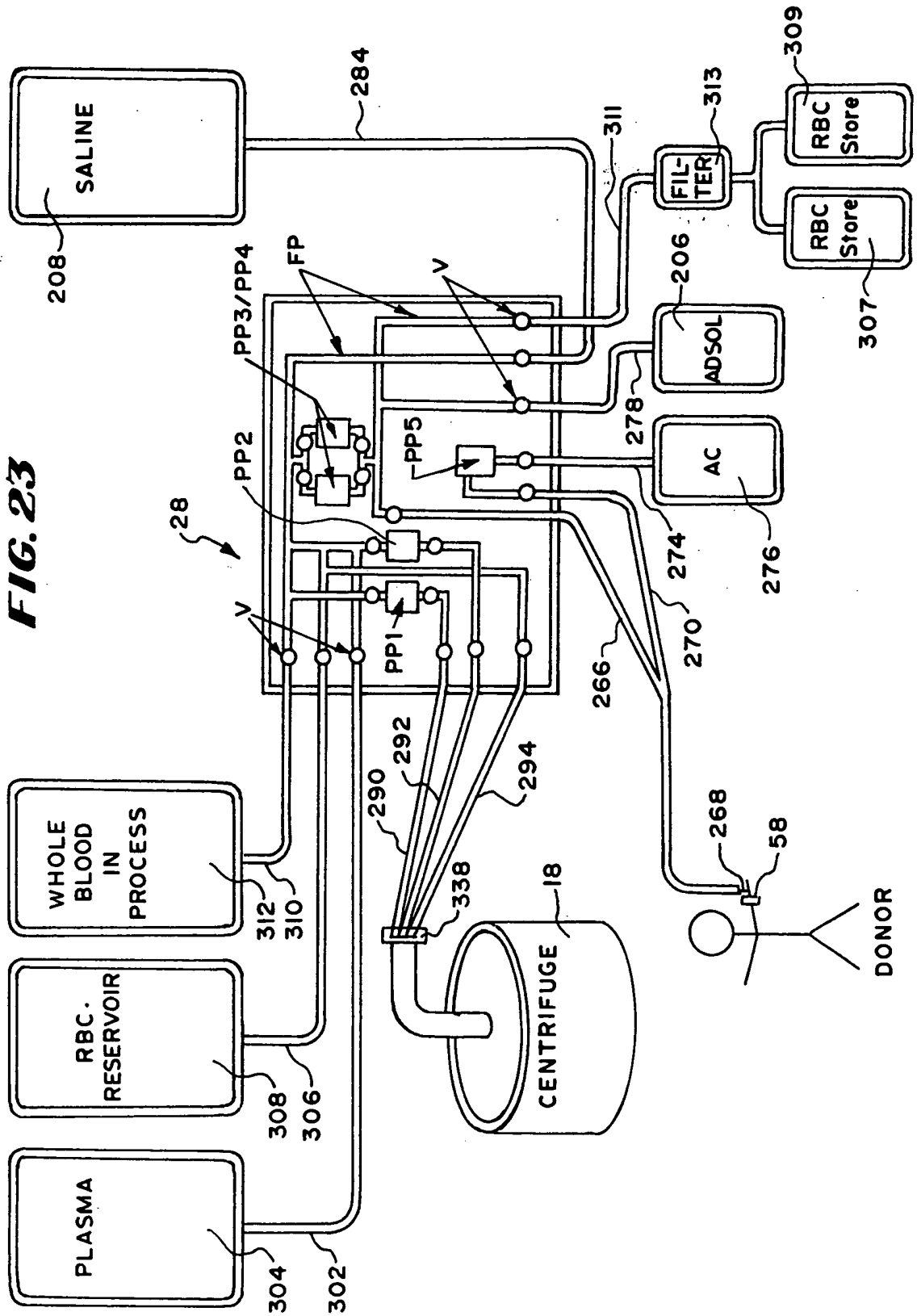
FIG. 21

FIG. 22



2025-11-20 14:50:50

FIG. 23



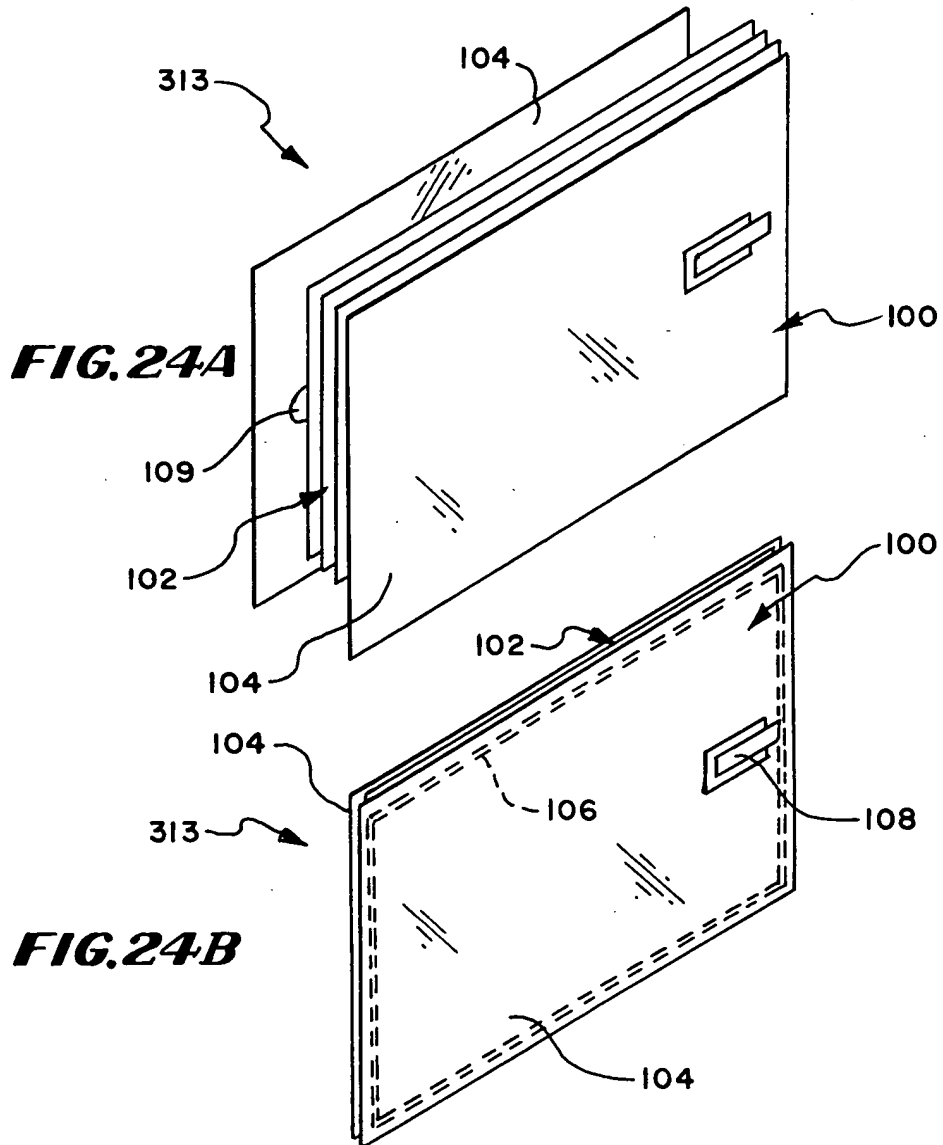


FIG. 25A

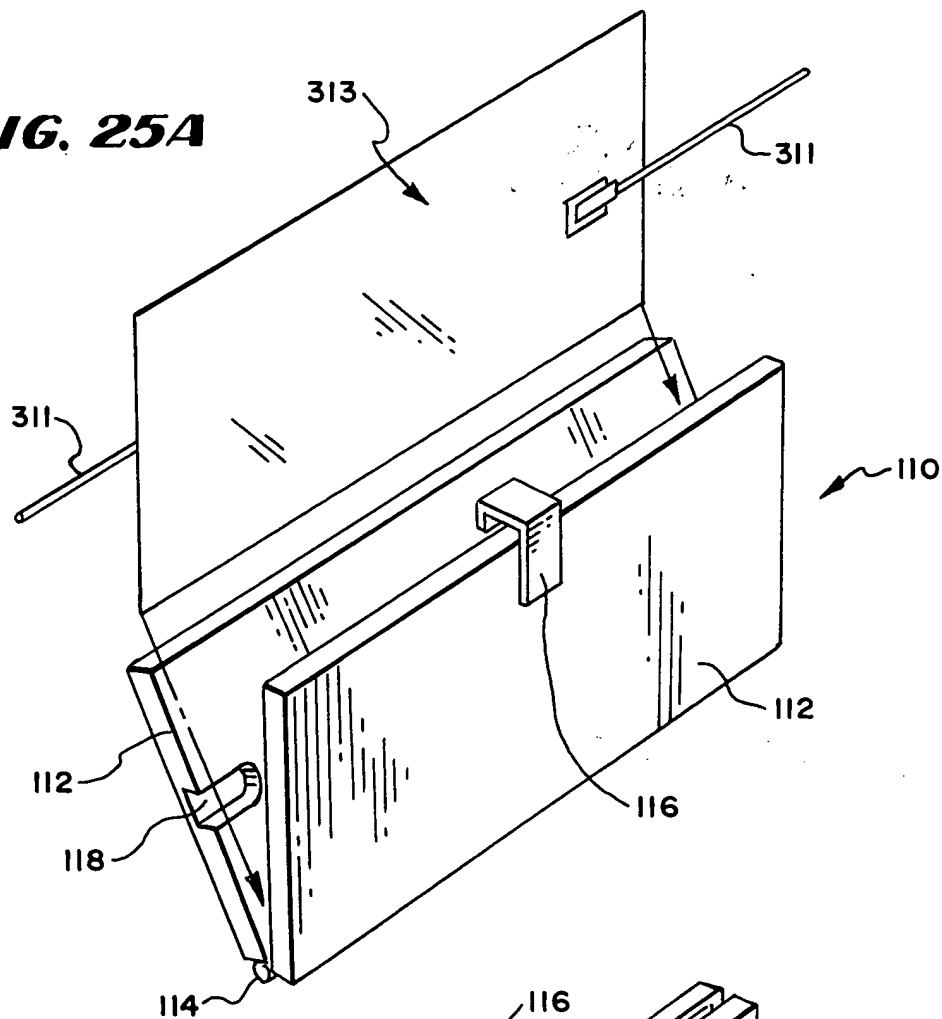
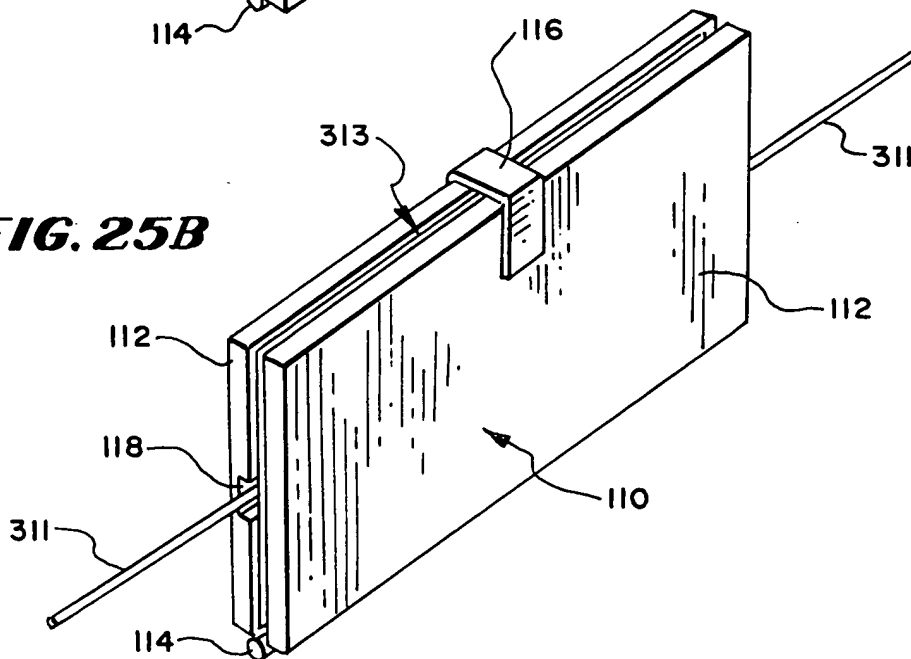
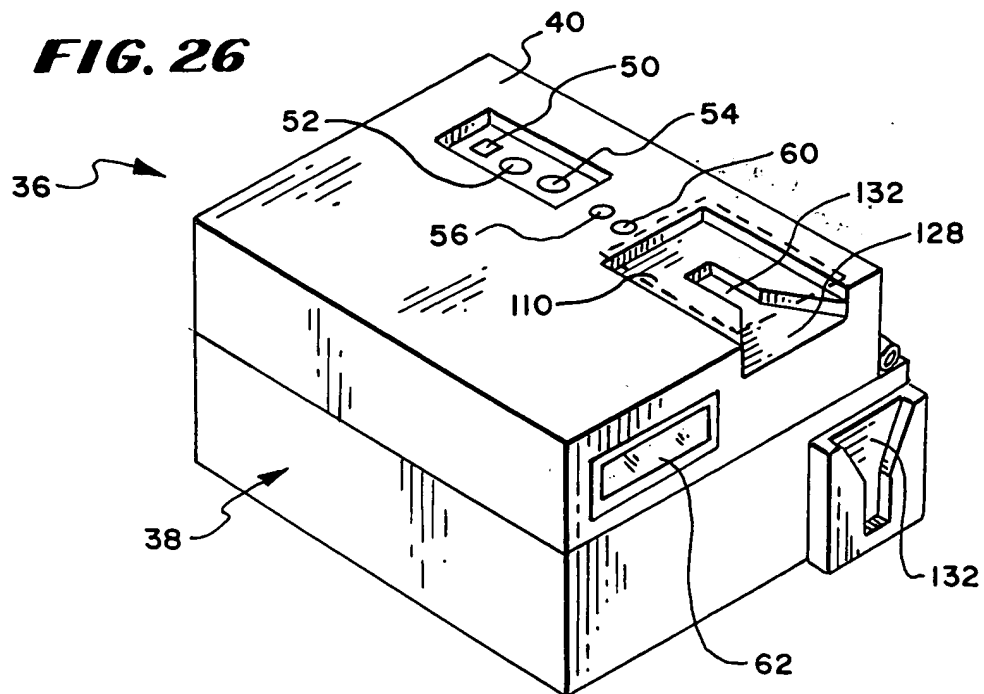


FIG. 25B



23/24

FIG. 26



FROM RED BLOOD
CELL RESERVOIR 308

FIG. 27

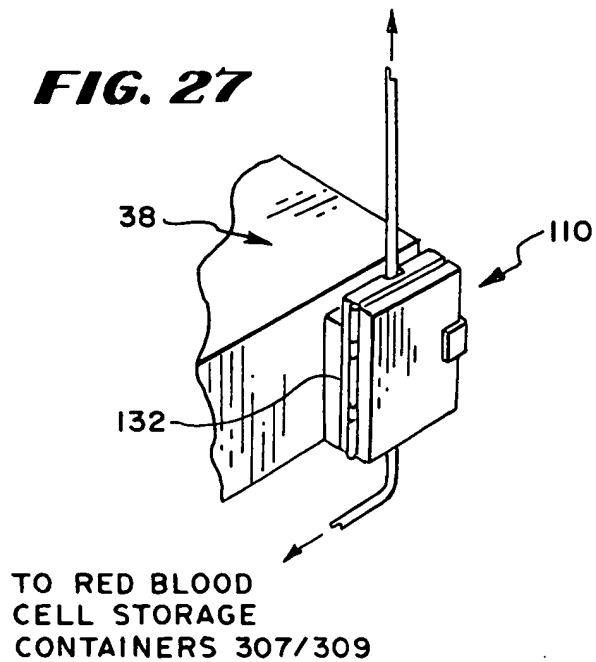
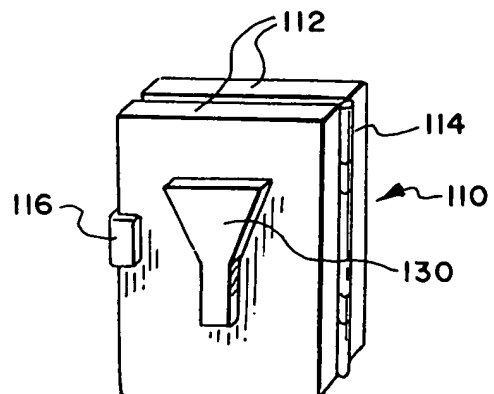


FIG. 28



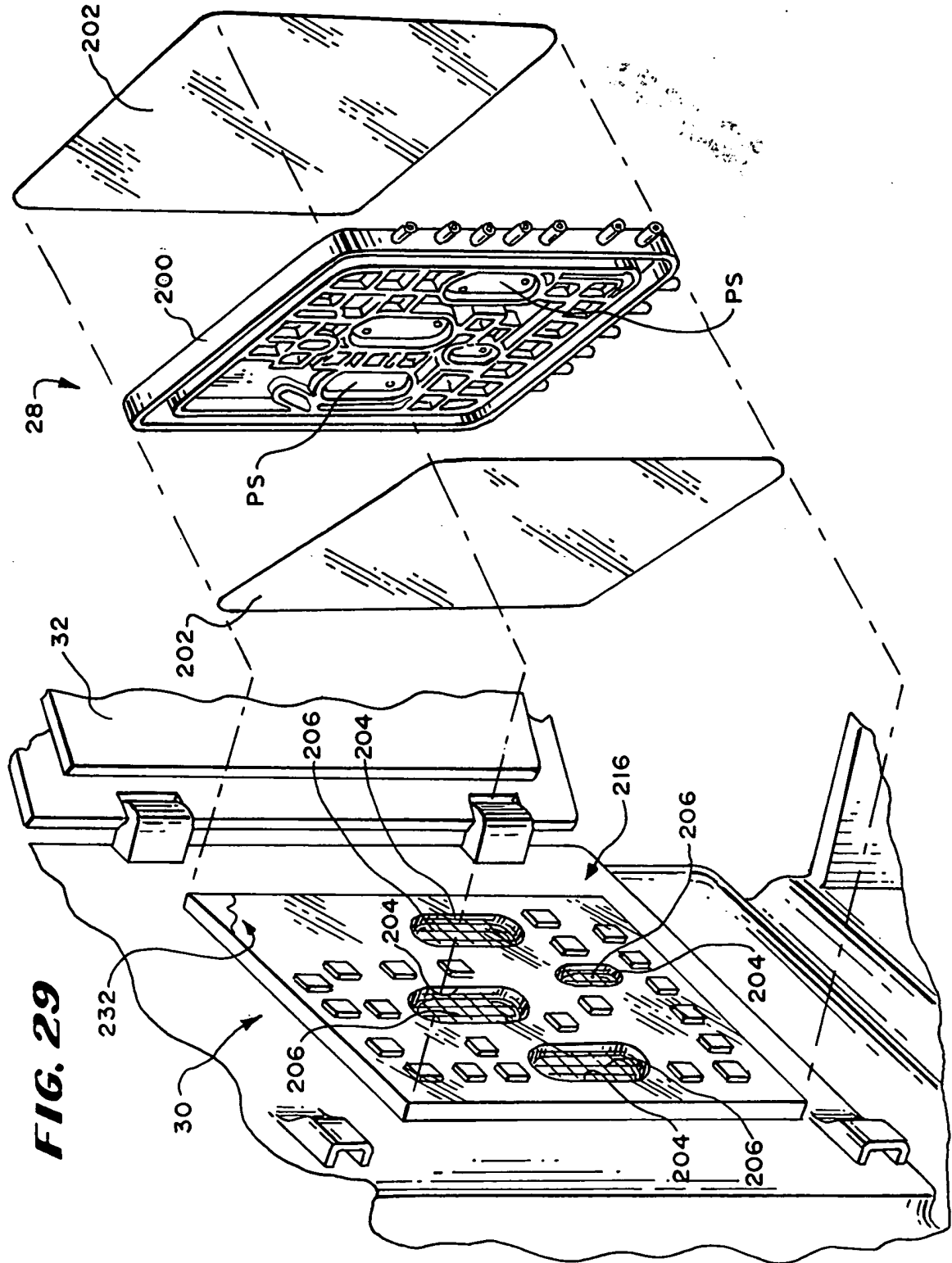


FIG. 29

FIG. 29 is a perspective view of the device assembly 30.